

Triode mit Edelgasfüllung

Triode, inert gas-filled

Triode avec remplissage à gaz rare

Triodo con relleno de gas noble

Glasausführung

Glass type

Exécution verre

Tipo de vidrio

Kathode

Cathode

Cathode

Cátodo

direkt geheizt

directly heated

à chauffage direct

caldeado directamente

Montageanordnung:

Mounting Position:

Disposition de montage:

Para montaje:

Beliebig

Any

Quelconque

cualquiera

Gewicht

Approx. net weight

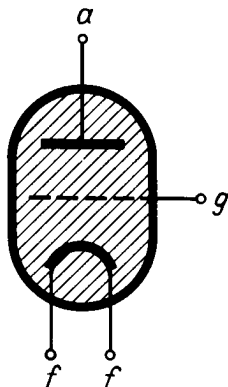
Poids

Peso

0,3 kg

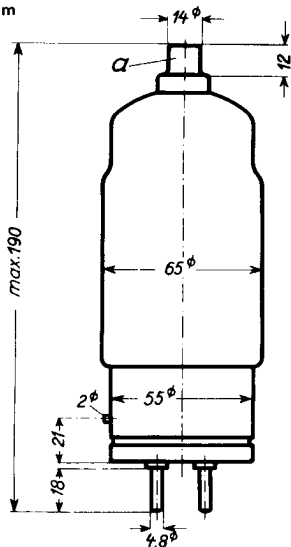
0,66 lbs

- a = Anode
Anode
Anode
Anodo
- g = Steuergitter
Control grid
Grille de réglage
Rejilla de mando
- f = Heizung
Filament
Filament
Filamento

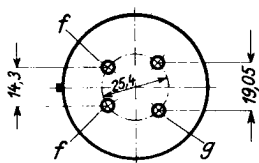


Abmessungen
Dimensions
Dimensiones

mm



Sockelansicht von unten
Bottom view of socket
Socle vu du bas
Portaválvula vista desde abajo



Freie Kontakte der Fassung dürfen nicht als Stützpunkte für Schaltmittel benutzt werden.

Free socket contacts must not be used for supporting any circuitry.

Les contacts libres de la douille ne doivent pas servir de points d'appui pour l'appareillage de connexion.

Los contactos libres de los portalámparas no deben ser empleados como puntos de apoyo para elementos de conexión.

Technische Werte Technical data Caractéristiques techniques Datos técnicos

Heizspannung Filament voltage Tension de chauffage Tensión de caldeo	}	U_f 2,5 V
Heizstrom Filament current Courant de chauffage Corriente de caldeo		ca. abt. env. aprox. } J_f 12 A
Toleranz der Heizspannung Max. permissible filament voltage fluctuations Fluctuation admissible de la tension de chauffage Tolerancia de la tensión de caldeo	}	max. \pm 5%
Anheizzeit Cathode-heating time Durée de chauffage Tiempo de precaldeo		}
Anodenspannung (Scheitelwert) Anode voltage (crest value) Tension anodique (valeur de crête) Tensión anódica (valor cresta)	}	
Sperrspannung (Scheitelwert) Inverse voltage (crest value) Tension d'arrêt (valeur de crête) Tensión de bloqueo (valor cresta)		}
Anodenstrom (Scheitelwert) Anode current (crest value) Courant anodique (valeur de crête) Corriente anódica (valor cresta)	}	
Anodenstrom (Mittelwert) Anode current (average) Courant anodique (valeur moyenne) Corriente anódica (valor medio)		}
Steuergitterspannung bei gesperrter Röhre (Scheitelwert) Negative control grid bias of non-conducting tube (crest value) Tension de grille régulatrice pour tube non allumé (valeur de crête) Tensión de rejilla de mando con válvua no encendida (valor cresta)	}	

Steuergitterstrom (Scheitelwert)

Control grid current (crest value)
 Courant de grille (valeur de crête)
 Corriente de rejilla (valor cresta)

$$\left. \begin{array}{l} \text{Control grid current (crest value)} \\ \text{Courant de grille (valeur de crête)} \\ \text{Corriente de rejilla (valor cresta)} \end{array} \right\} \hat{i}_g \text{ max. } 0,2 \text{ A}$$

Steuergitterstrom (Mittelwert)

Control grid current (average)
 Courant de grille (valeur moyenne)
 Corriente de rejilla (valor medio)

$$\left. \begin{array}{l} \text{Control grid current (average)} \\ \text{Courant de grille (valeur moyenne)} \\ \text{Corriente de rejilla (valor medio)} \end{array} \right\} I_g \text{ max. } 0,05 \text{ A}$$

Gitterwiderstand

Max. grid resistance
 Résistance de grille
 Resistencia de rejilla

$$\left. \begin{array}{l} \text{Max. grid resistance} \\ \text{Résistance de grille} \\ \text{Resistencia de rejilla} \end{array} \right\} R_g \text{ max. } 100 \text{ k } \Omega$$

Spannungsabfall an der gezündeten Röhre

Arc drop
 Chute de tension
 Caída de tensión

$$\left. \begin{array}{l} \text{Arc drop} \\ \text{Chute de tension} \\ \text{Caída de tensión} \end{array} \right\} U_B \quad 16 \text{ V}$$

Integrationszeit

Integration time
 Temps d'intégration
 Tiempo de integración

$$\left. \begin{array}{l} \text{Integration time} \\ \text{Temps d'intégration} \\ \text{Tiempo de integración} \end{array} \right\} \tau \text{ max. } 15 \text{ sec.}$$

Jonisationszeit

Ionisation time
 Temps d'ionisation
 Tiempo de ionización

$$\left. \begin{array}{l} \text{Ionisation time} \\ \text{Temps d'ionisation} \\ \text{Tiempo de ionización} \end{array} \right\} t_i \quad 10 \mu \text{ sec.}$$

Freiwerdezeit

Recovery time
 Temps de recouvrement
 Tiempo de recobro

$$\left. \begin{array}{l} \text{Recovery time} \\ \text{Temps de recouvrement} \\ \text{Tiempo de recobro} \end{array} \right\} \begin{array}{l} \text{bei} \\ \text{at} \\ \text{à} \\ \text{en} \end{array} \left\{ \begin{array}{l} U_g = - 10 \text{ V} \\ U_g = - 100 \text{ V} \end{array} \right. \begin{array}{l} t_r = 400 \mu \text{ sec.} \\ t_r = 70 \mu \text{ sec.} \end{array}$$

Gitteranoden-Kapazität

Grid-anode capacity
 Capacité d'anode de grille
 Capacidad del ánodo de rejilla

$$\left. \begin{array}{l} \text{Grid-anode capacity} \\ \text{Capacité d'anode de grille} \\ \text{Capacidad del ánodo de rejilla} \end{array} \right\} C_{ag} \quad 0,8 \text{ pF} \\ (\mu\mu\text{F})$$

Eingangs-Kapazität

Grid-filament capacity
 Capacité a'entrée
 Capacidad rejilla filamento

$$\left. \begin{array}{l} \text{Grid-filament capacity} \\ \text{Capacité a'entrée} \\ \text{Capacidad rejilla filamento} \end{array} \right\} C_g \quad 45 \text{ pF} \\ (\mu\mu\text{F})$$

Ausgangs-Kapazität

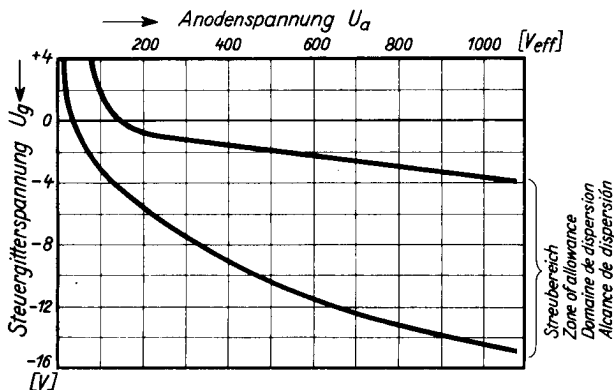
Anode-filament capacity
 Capacité de sortie
 Capacidad ánodo-filamento

$$\left. \begin{array}{l} \text{Anode-filament capacity} \\ \text{Capacité de sortie} \\ \text{Capacidad ánodo-filamento} \end{array} \right\} C_a \quad 26 \text{ pF} \\ (\mu\mu\text{F})$$

Umgebungstemperatur

Ambient temperature
 Température ambiante
 Temperatura de ambiente

$$\left. \begin{array}{l} \text{Ambient temperature} \\ \text{Température ambiante} \\ \text{Temperatura de ambiente} \end{array} \right\} \begin{array}{l} \text{min. } - 55^\circ \text{ C} \\ \text{max. } + 70^\circ \text{ C} \end{array}$$



Zündkennlinienbereich bei einer großen Zahl von Röhren gemessen. Zündkennlinie stellt Steuergitterspannung U_g in Abhängigkeit von der Anodenwechselspannung U_a (Effektivwert) am Zündpunkt dar.

Band of ignition characteristics as determined from measurements of a multitude of tubes.

Breakdown characteristic presents grid potential U_g as function of anode voltage (effective) U_a at firing point.

Domaine des caractéristiques d'allumage d'eterminé sur un grand nombre de tubes. La caractéristique d'allumage représente la tension de grille U_g en fonction de la tension alternative anodique (valeur effective) au point d'allumage.

Alcance de las características de ignición determinado en gran número de válvulas medidas.

La característica de ignición representa la tensión de rejilla de mando U_g en dependencia de la tensión alterna anódica U_a (valor eficaz) en el punto de ignición.